

FIG. 1

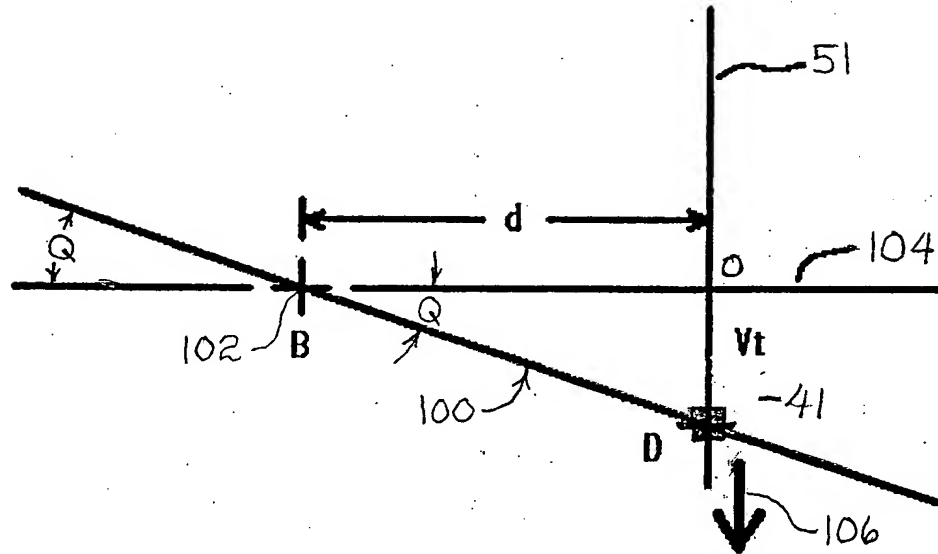


FIG. 2

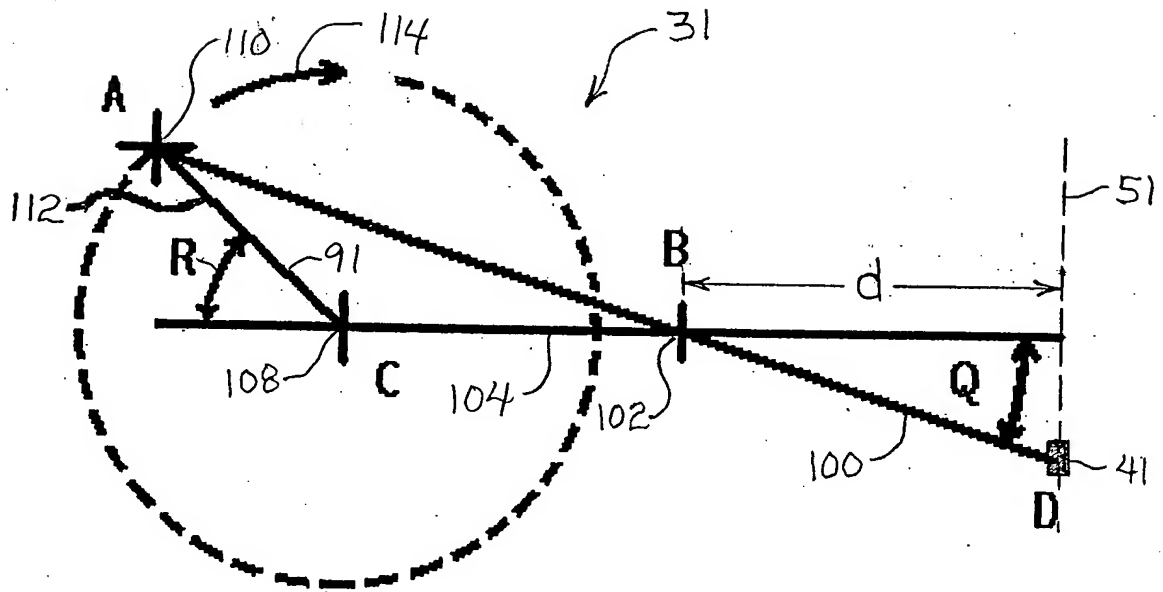


FIG. 3

Approximation of $\text{ARCTAN}(VR/\omega d)$
required for constant foot speed

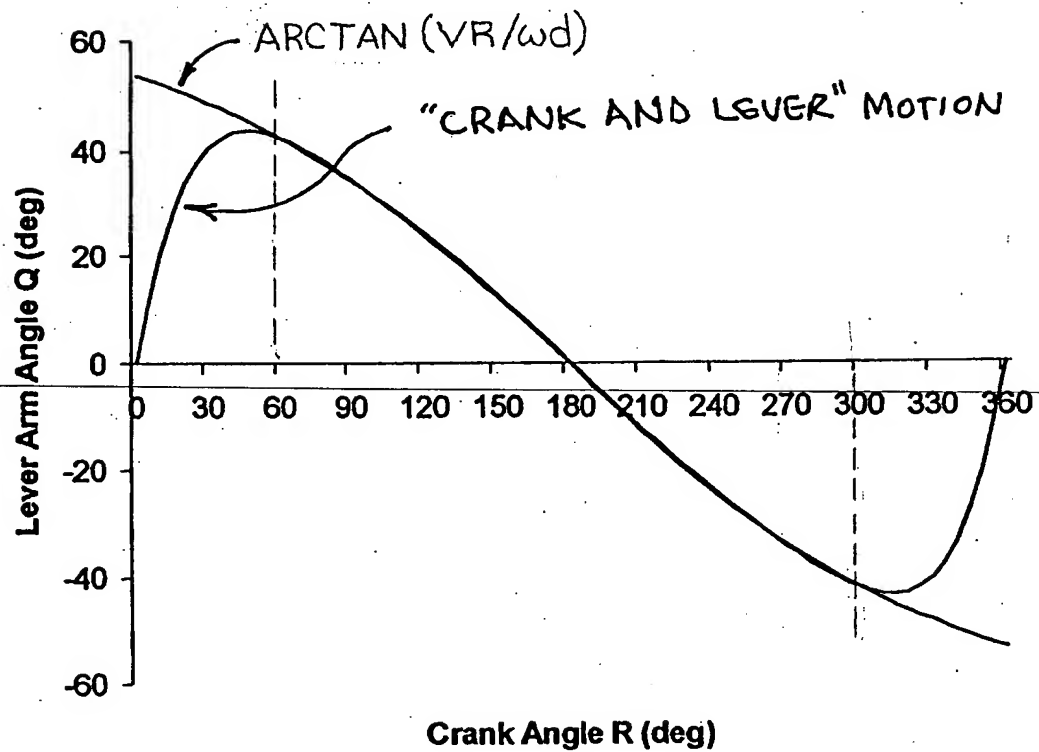


FIG. 4

Normalized Foot Speed resulting from ATAN(VR/wd) approximation

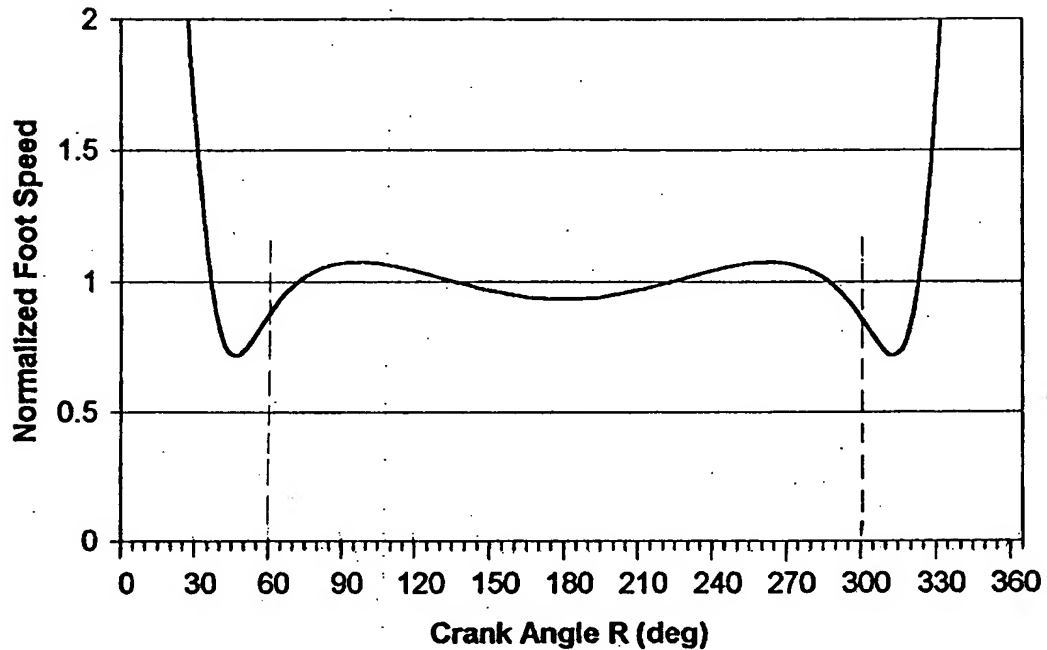


FIG. 5

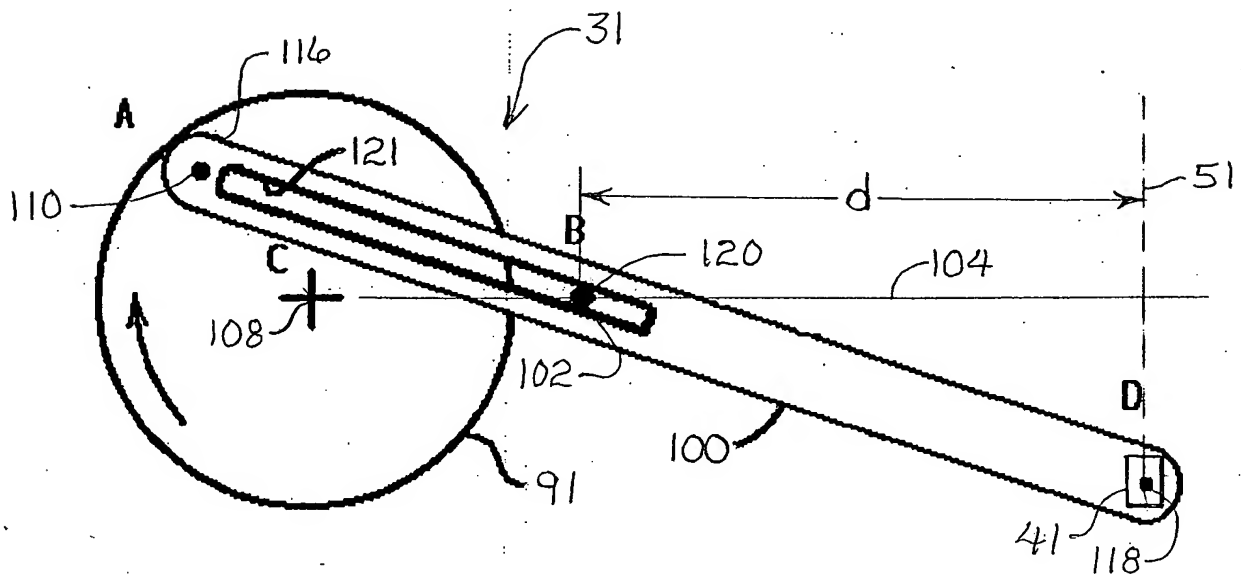
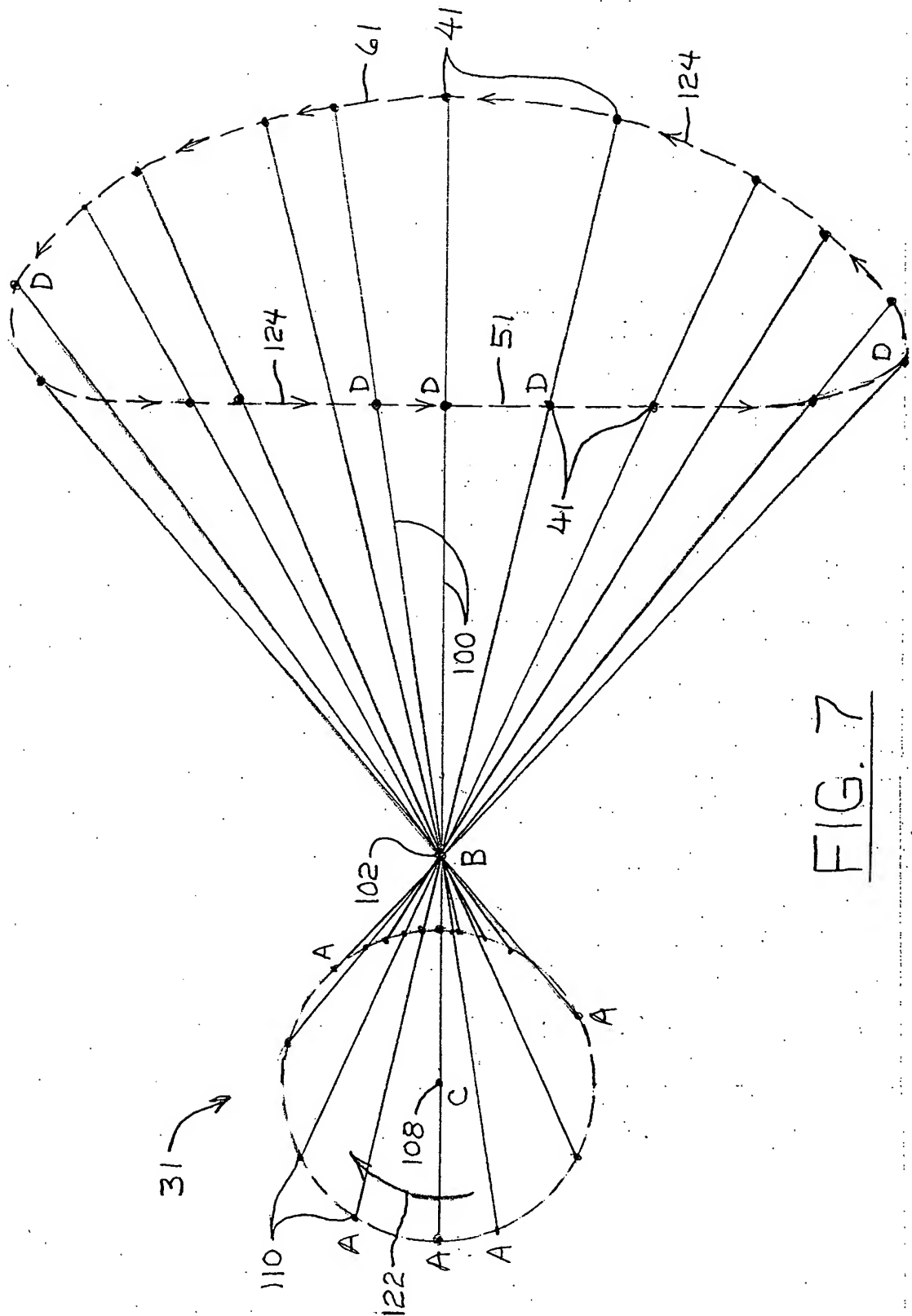


FIG. 6



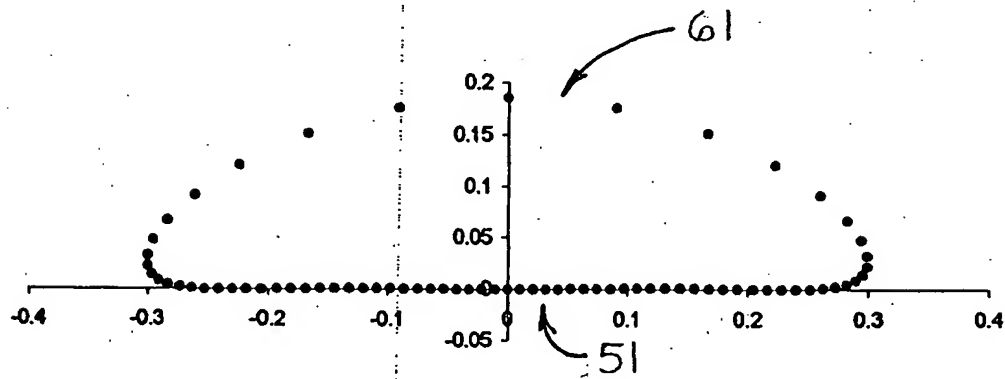


FIG. 8

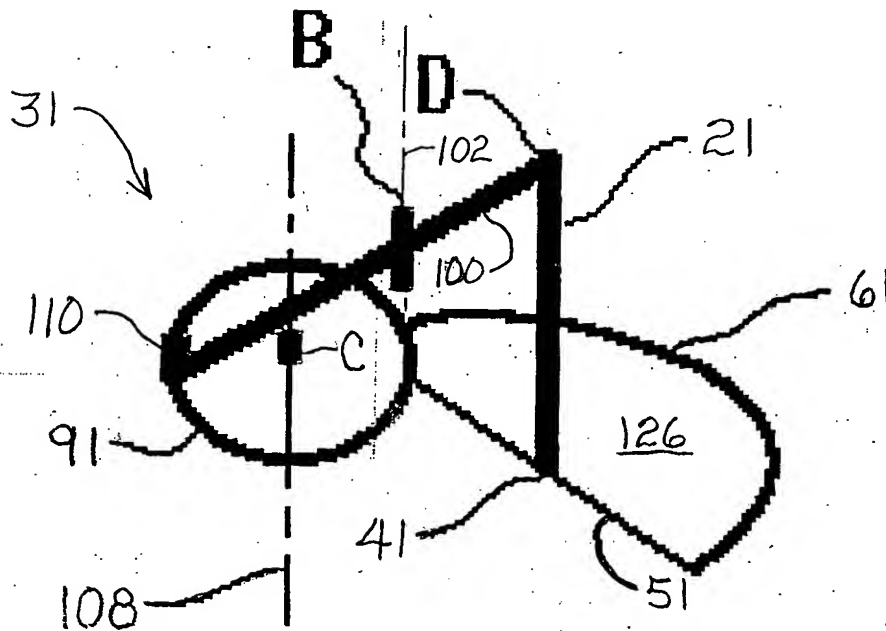
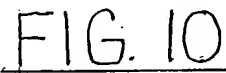


FIG. 9



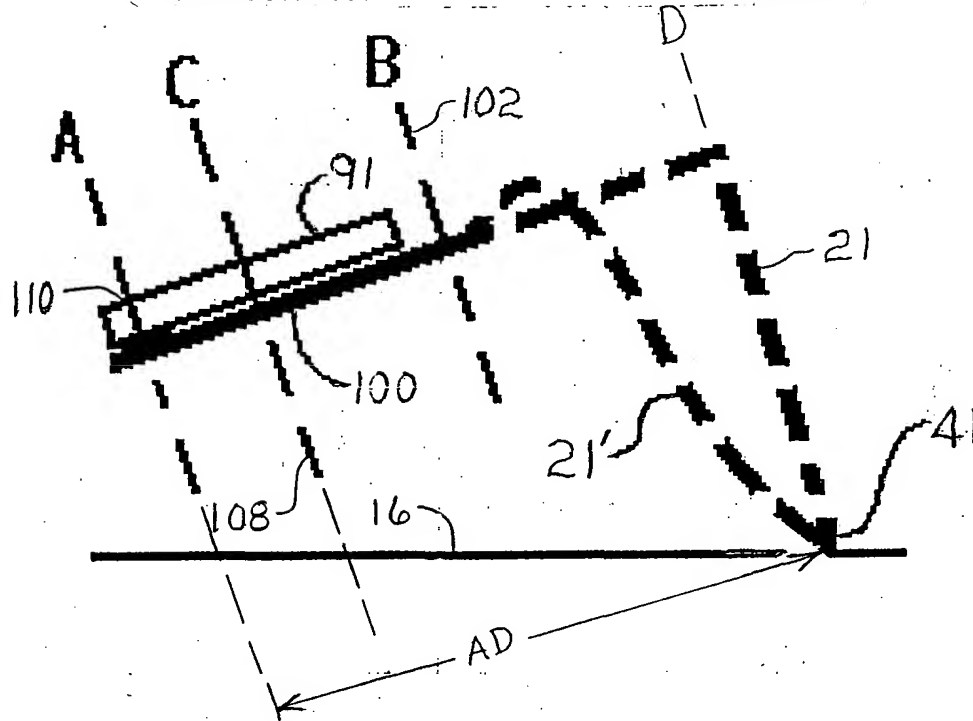


FIG. 12

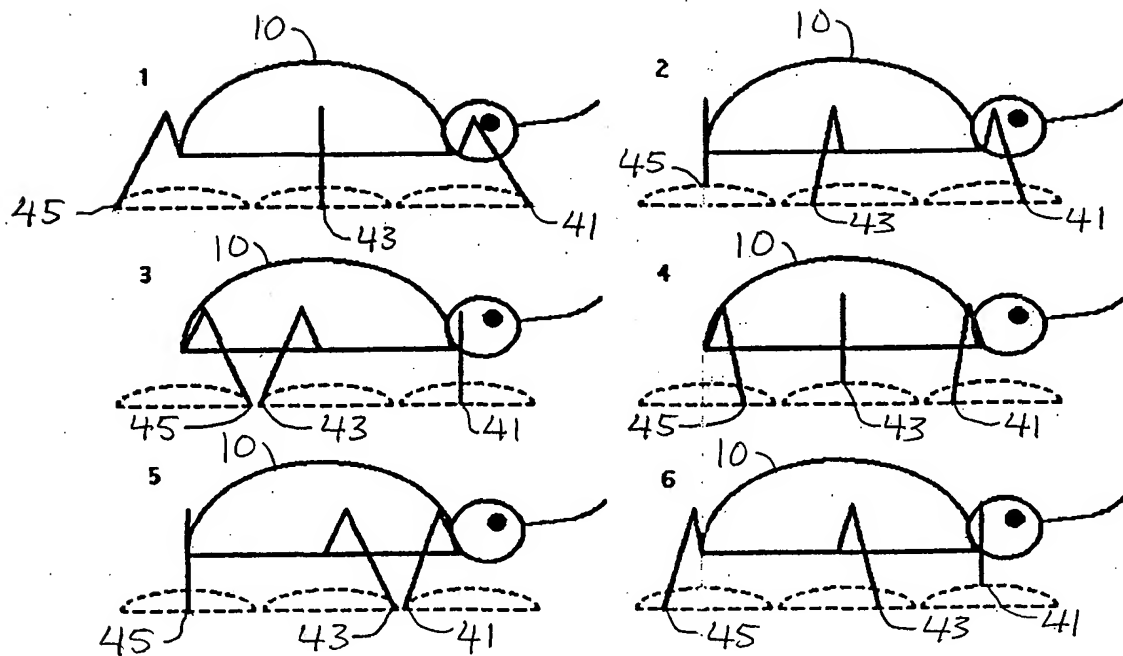


FIG. 13.

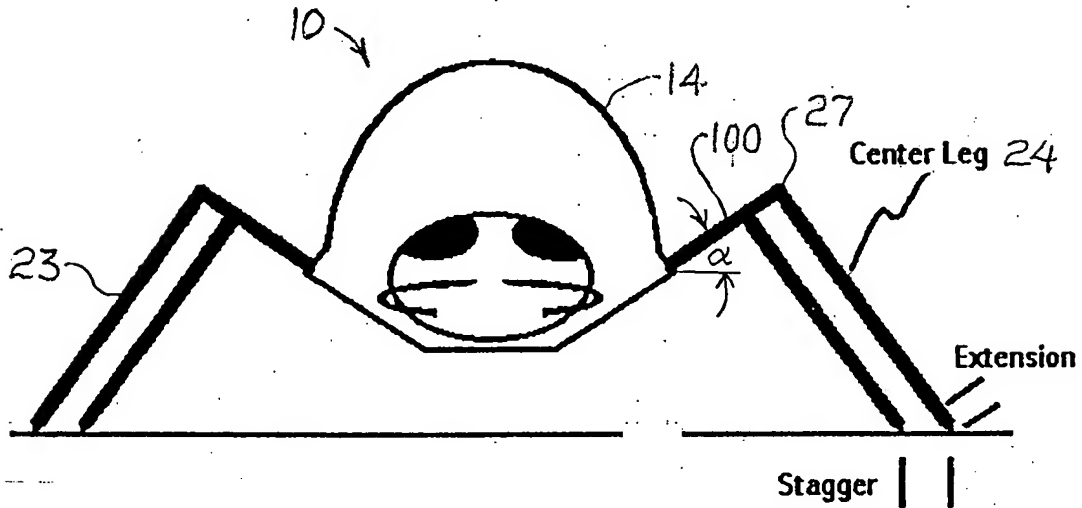


FIG. 14

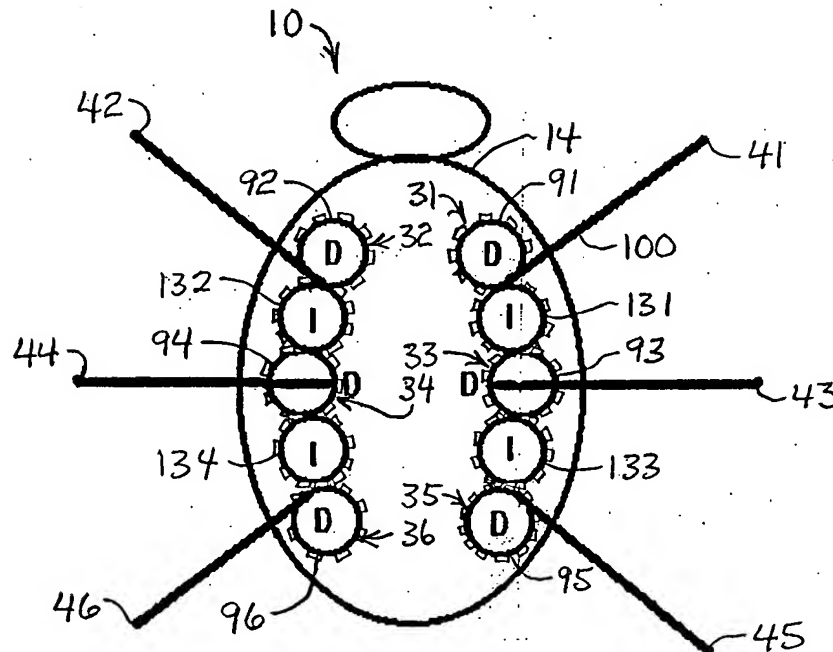
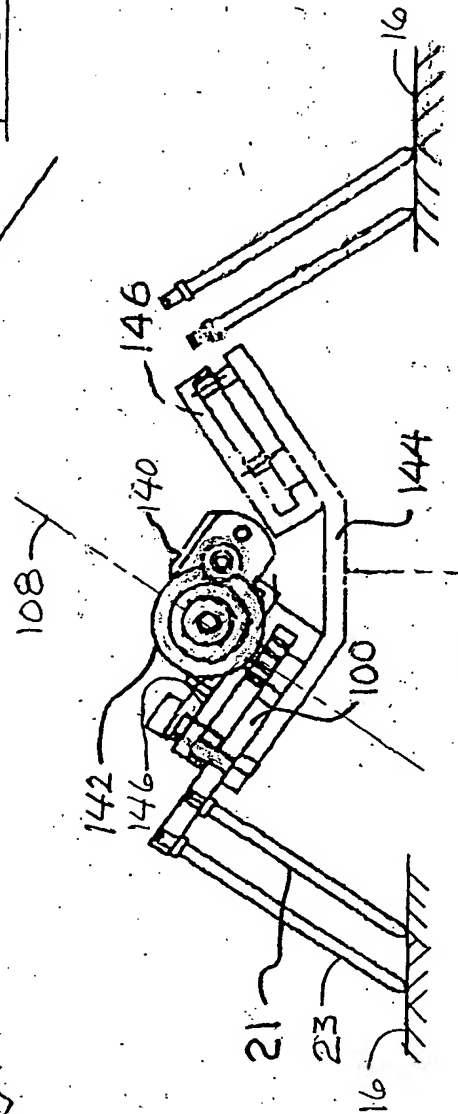
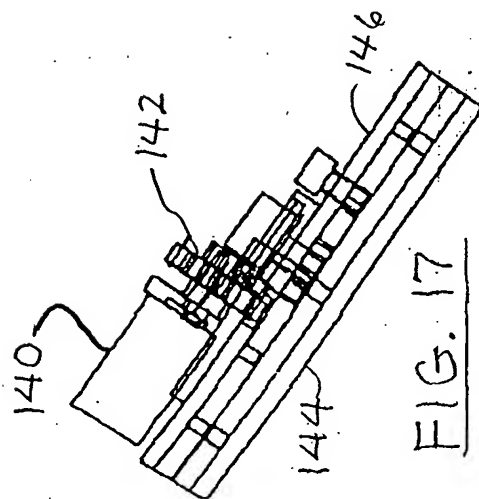
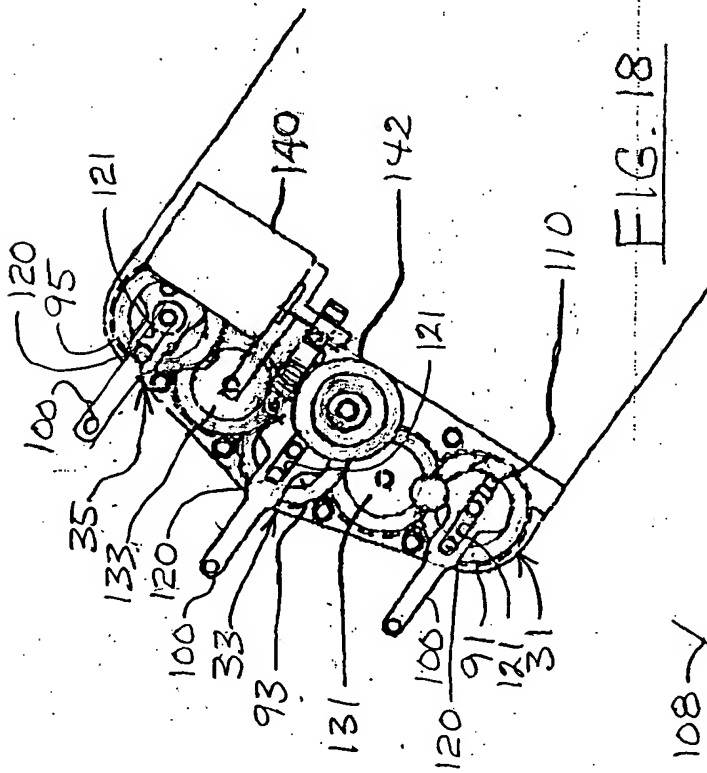


FIG. 15



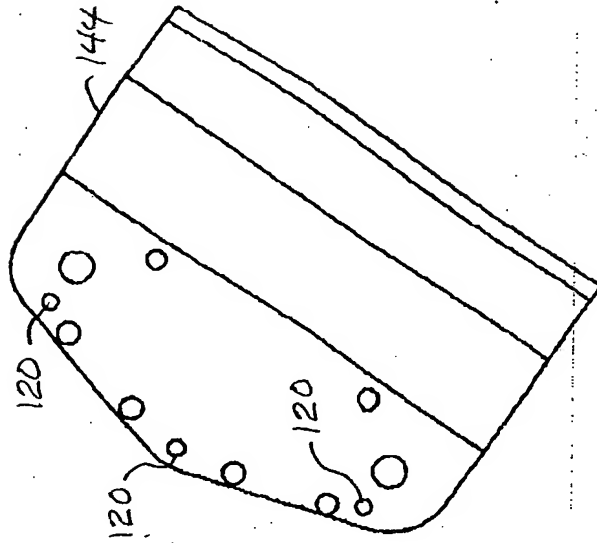


FIG. 21

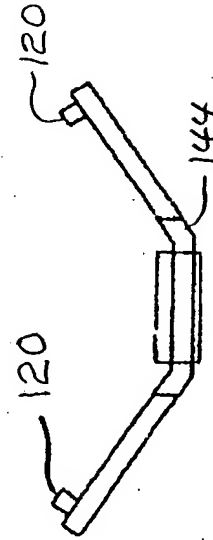


FIG. 19

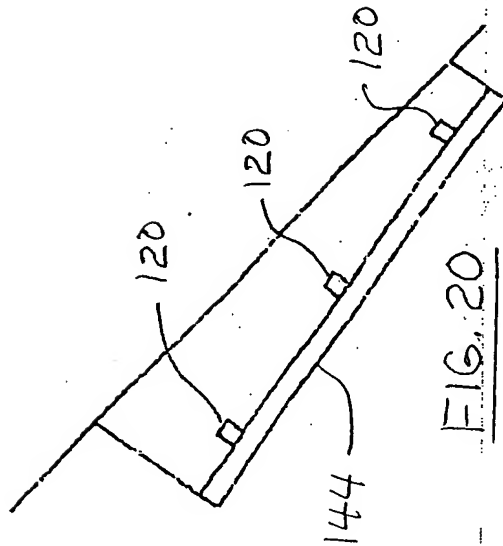


FIG. 20

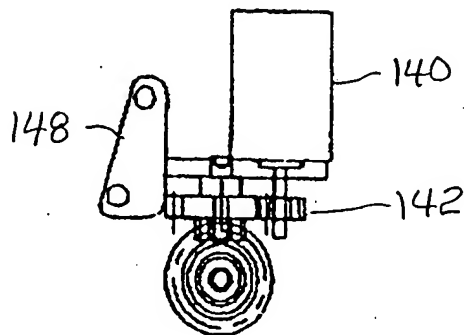


FIG. 23

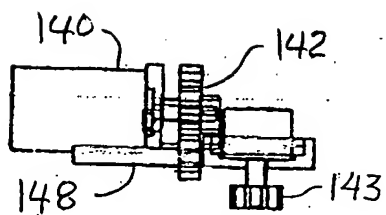


FIG. 24

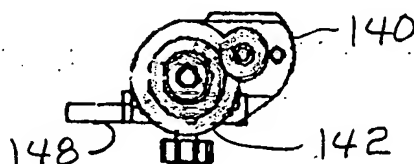


FIG. 22

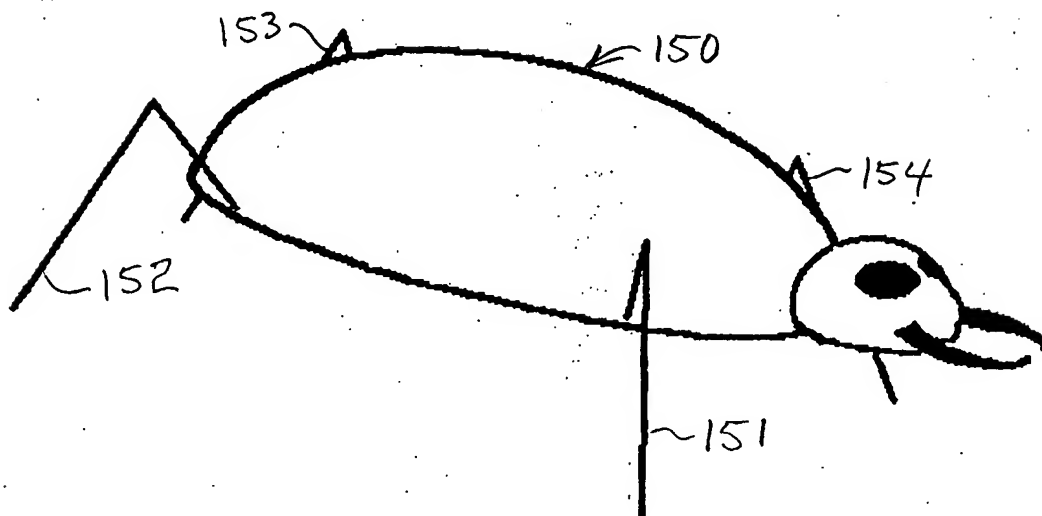


FIG. 27

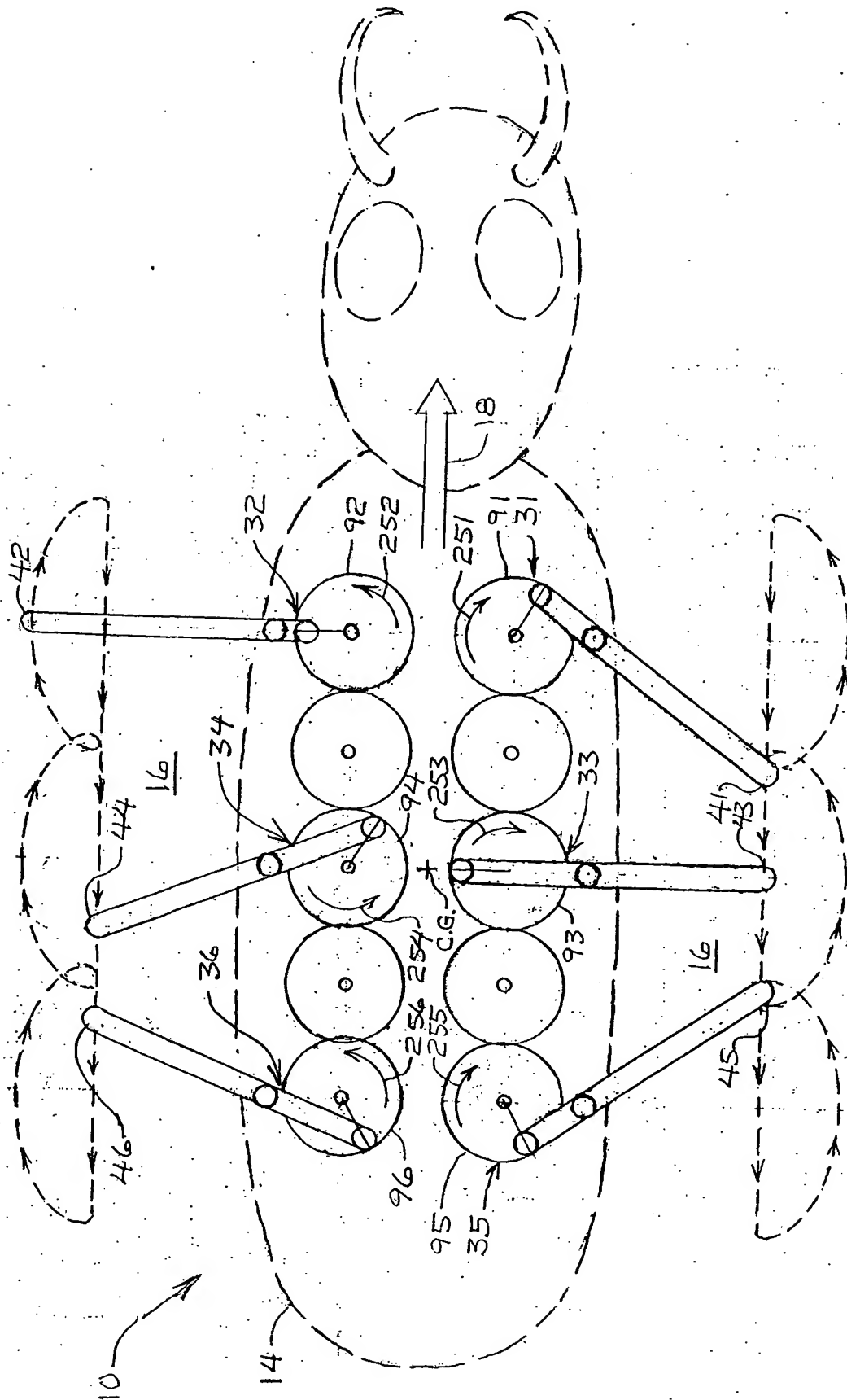


FIG. 25

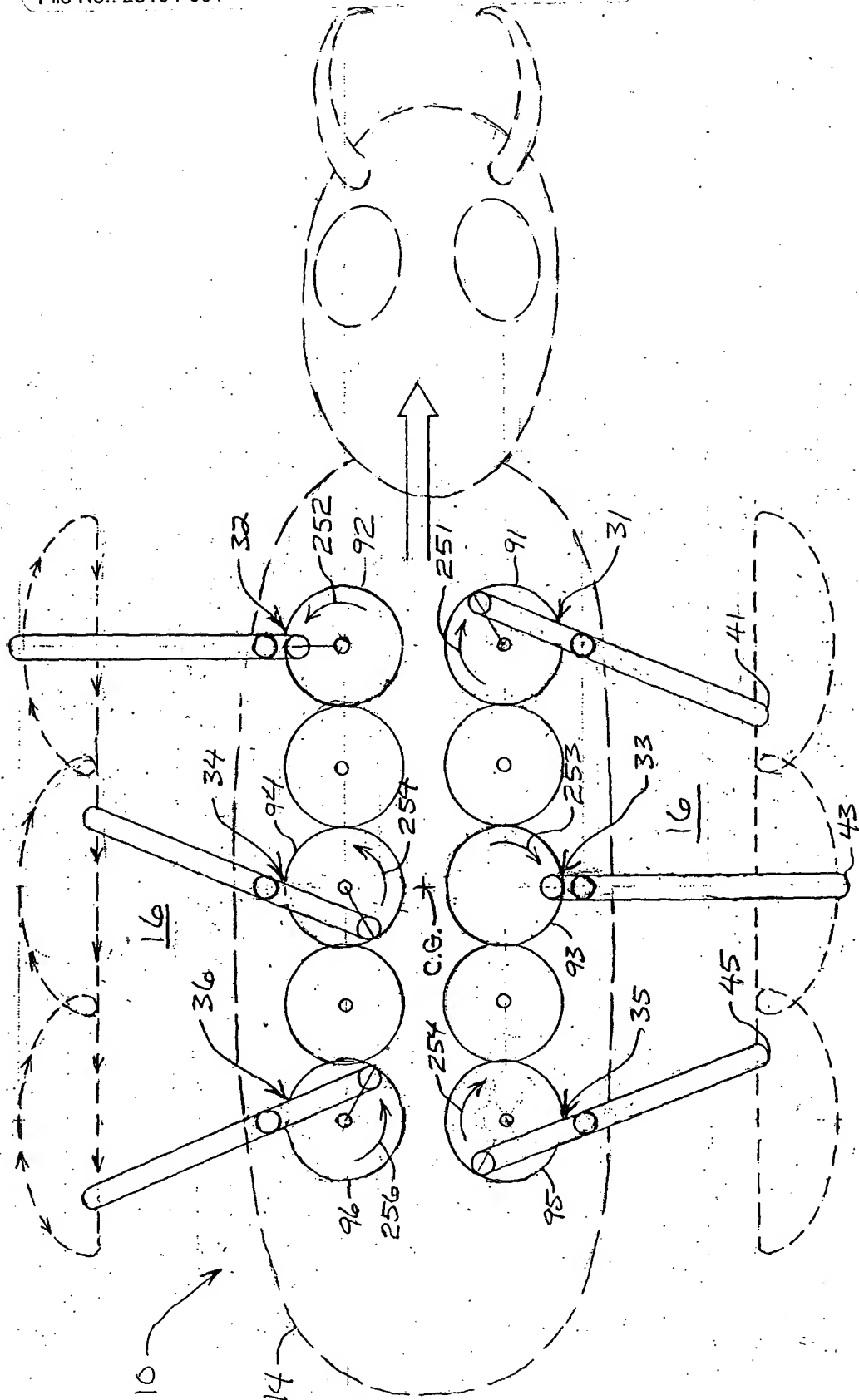


FIG. 26

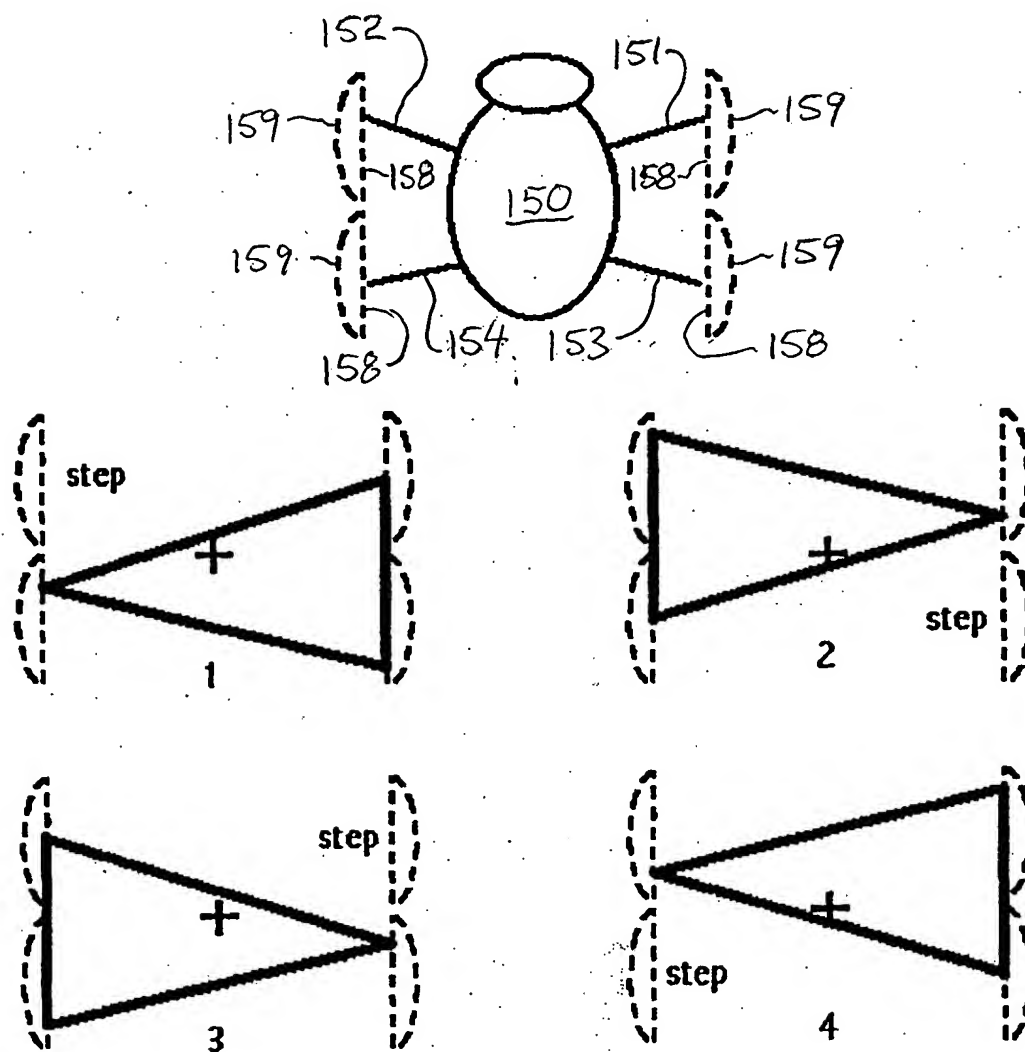


FIG. 28

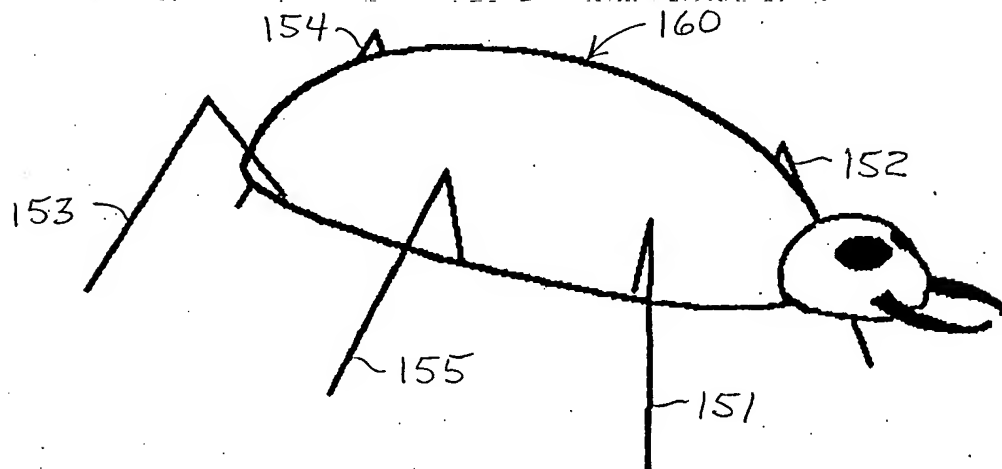


FIG. 29

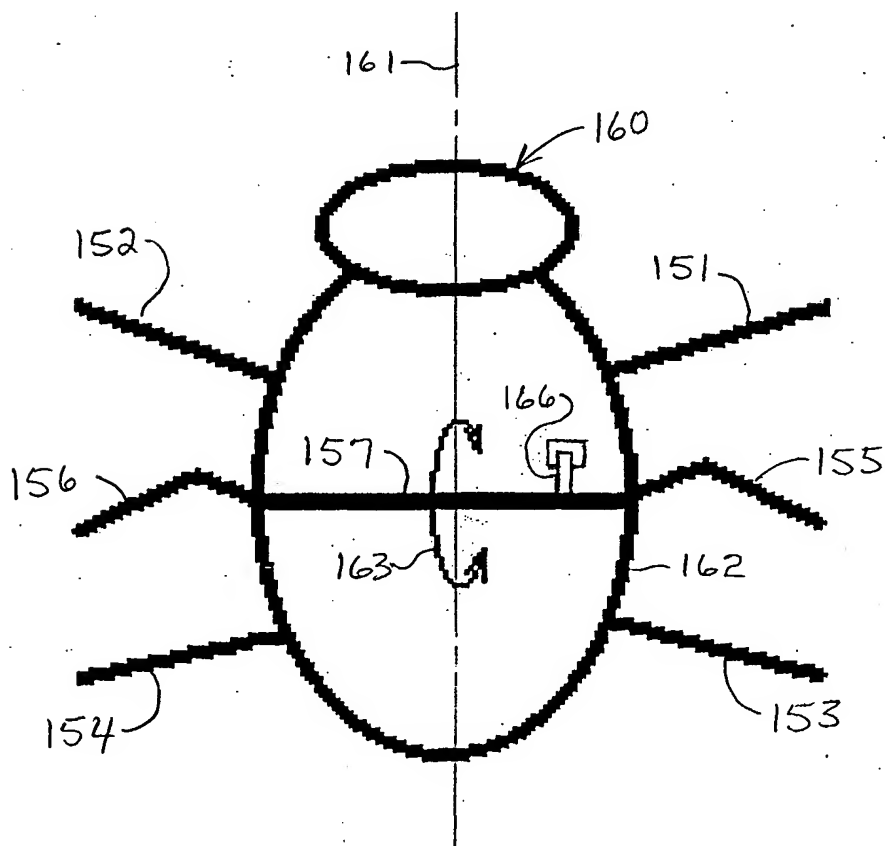


FIG. 30

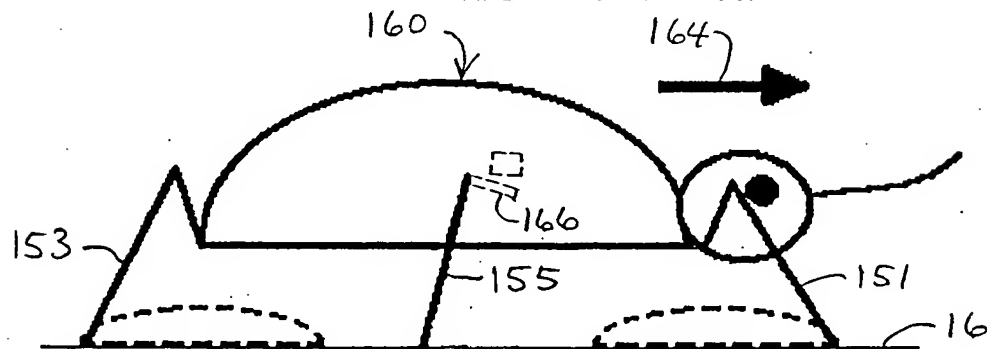


FIG. 31

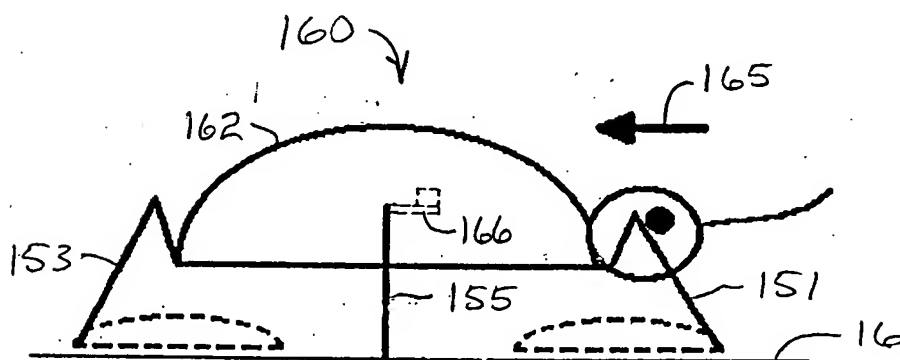


FIG. 32

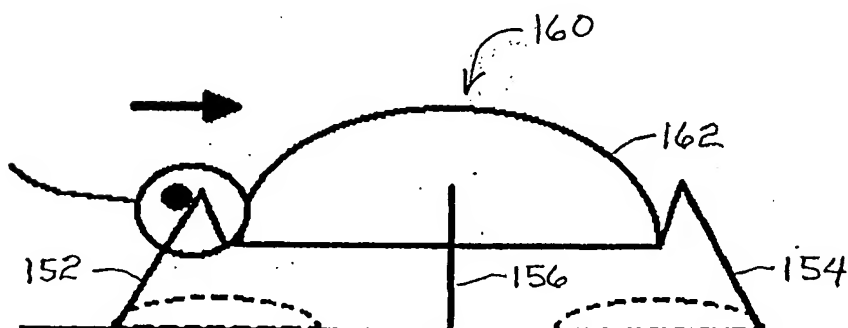


FIG. 33

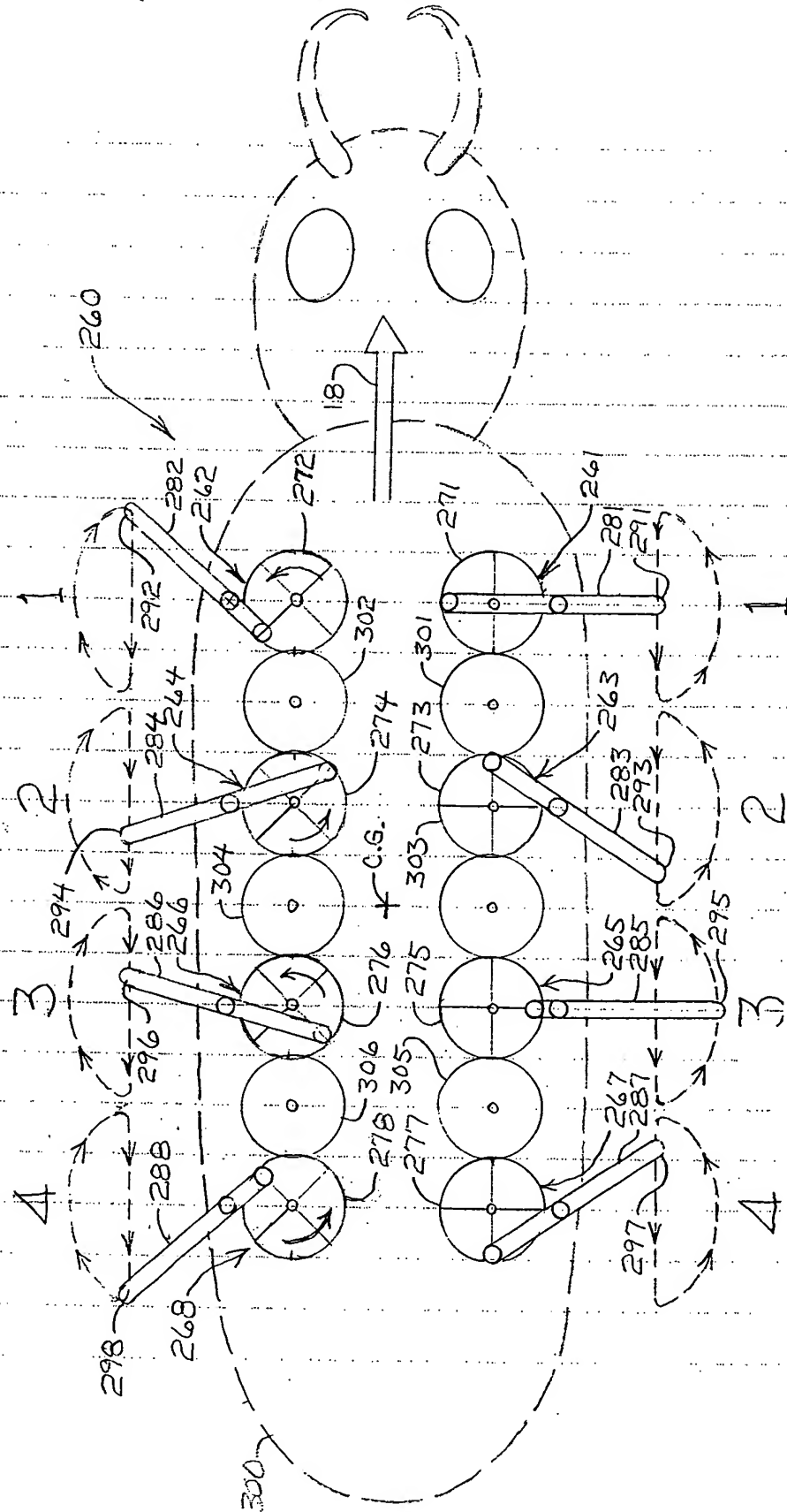


FIG. 34

5367

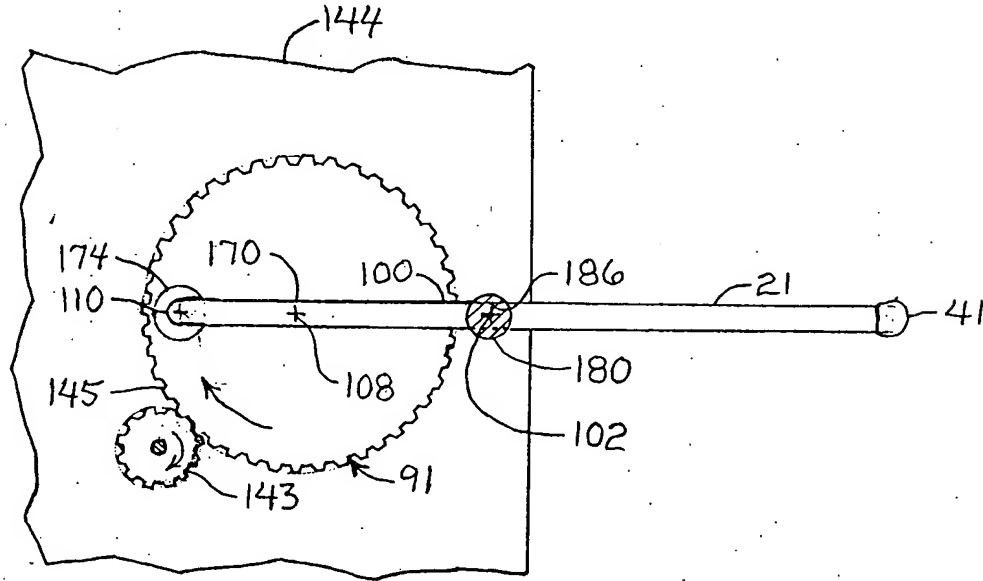


FIG. 36

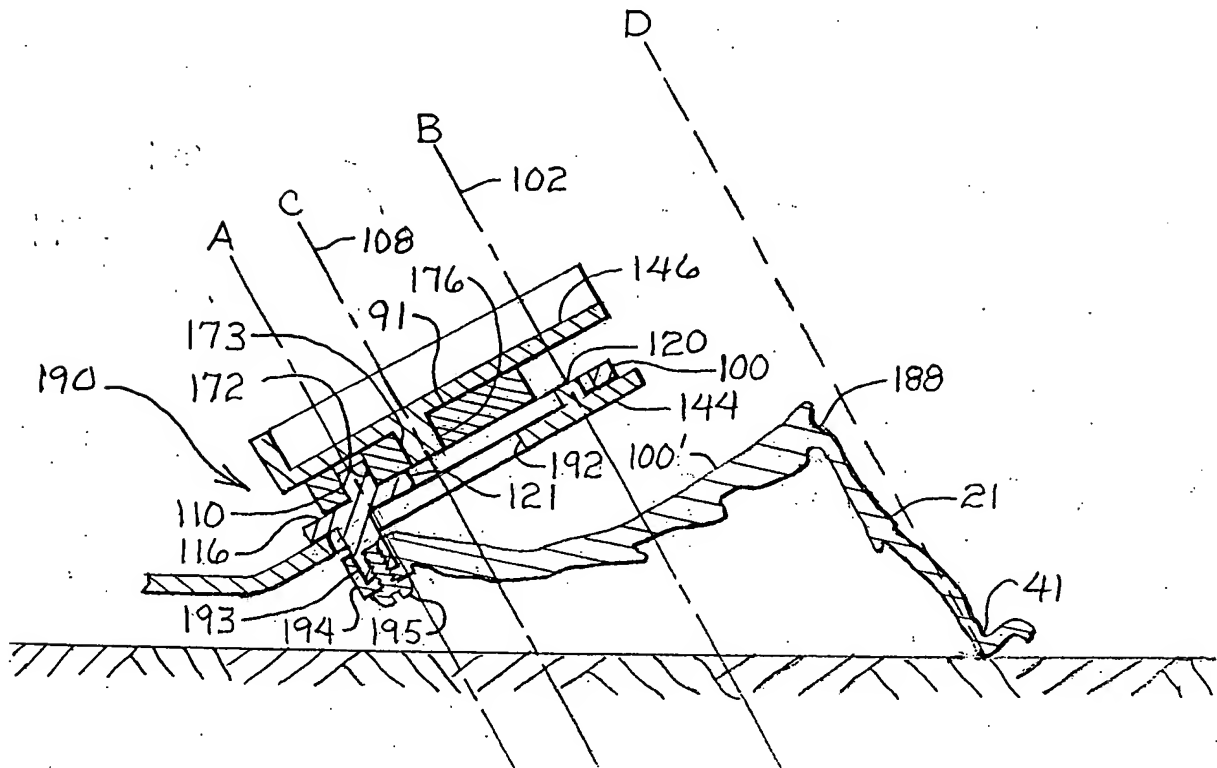


FIG. 37

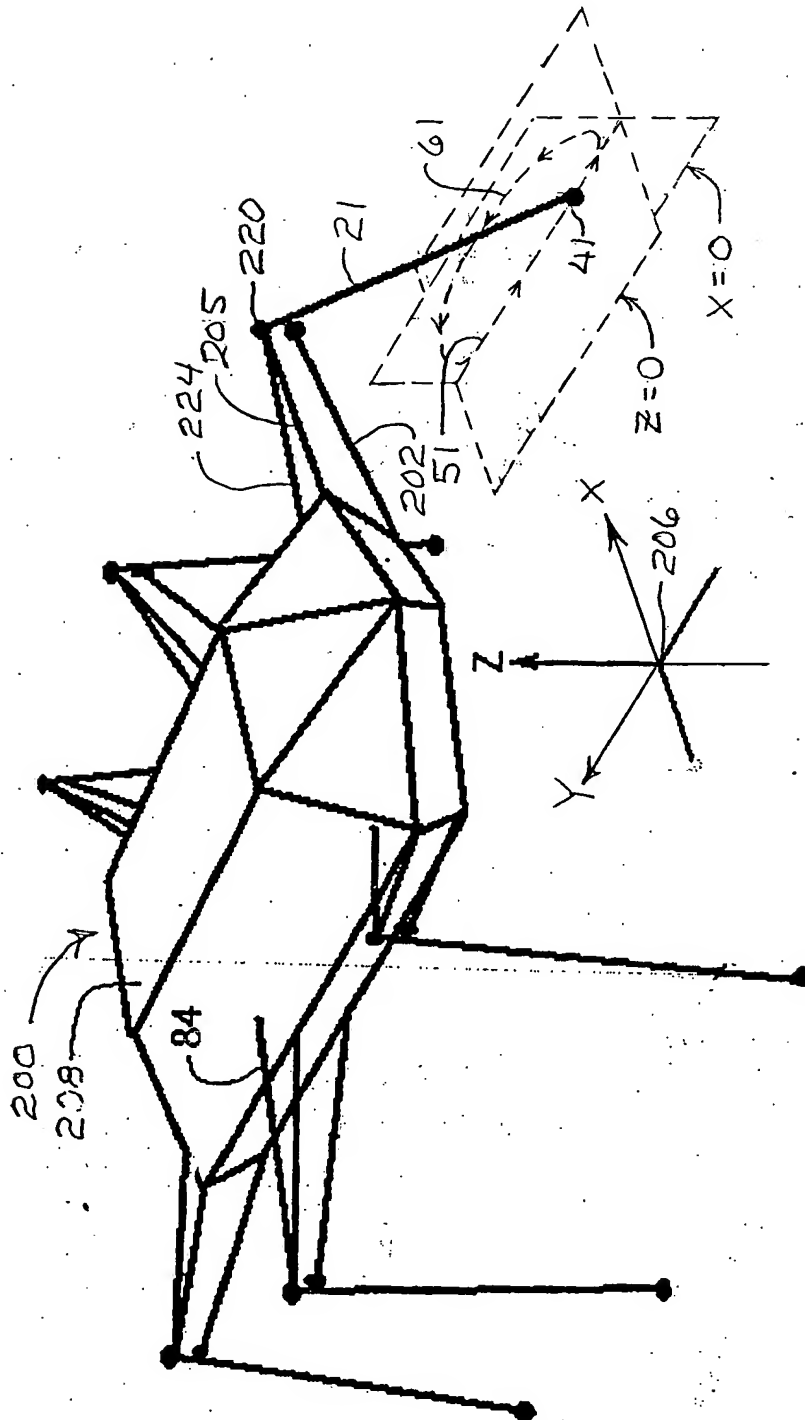
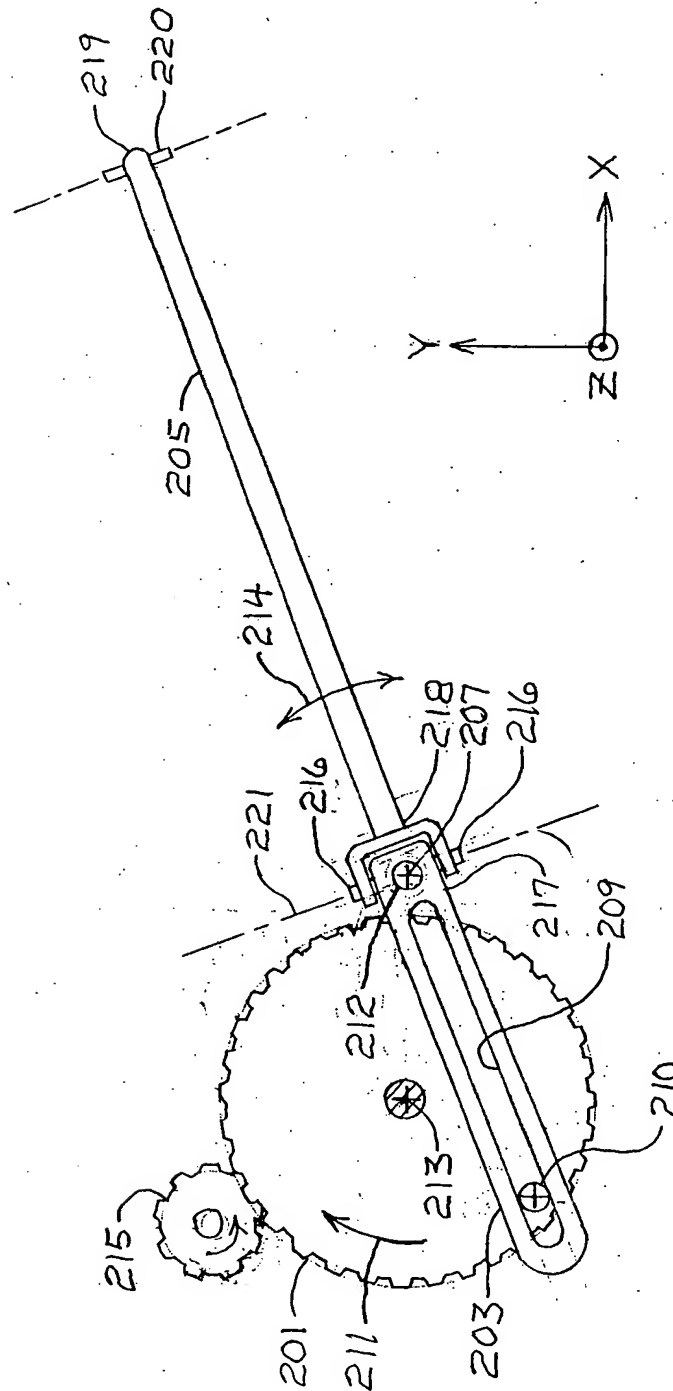


FIG. 38

FIG. 39



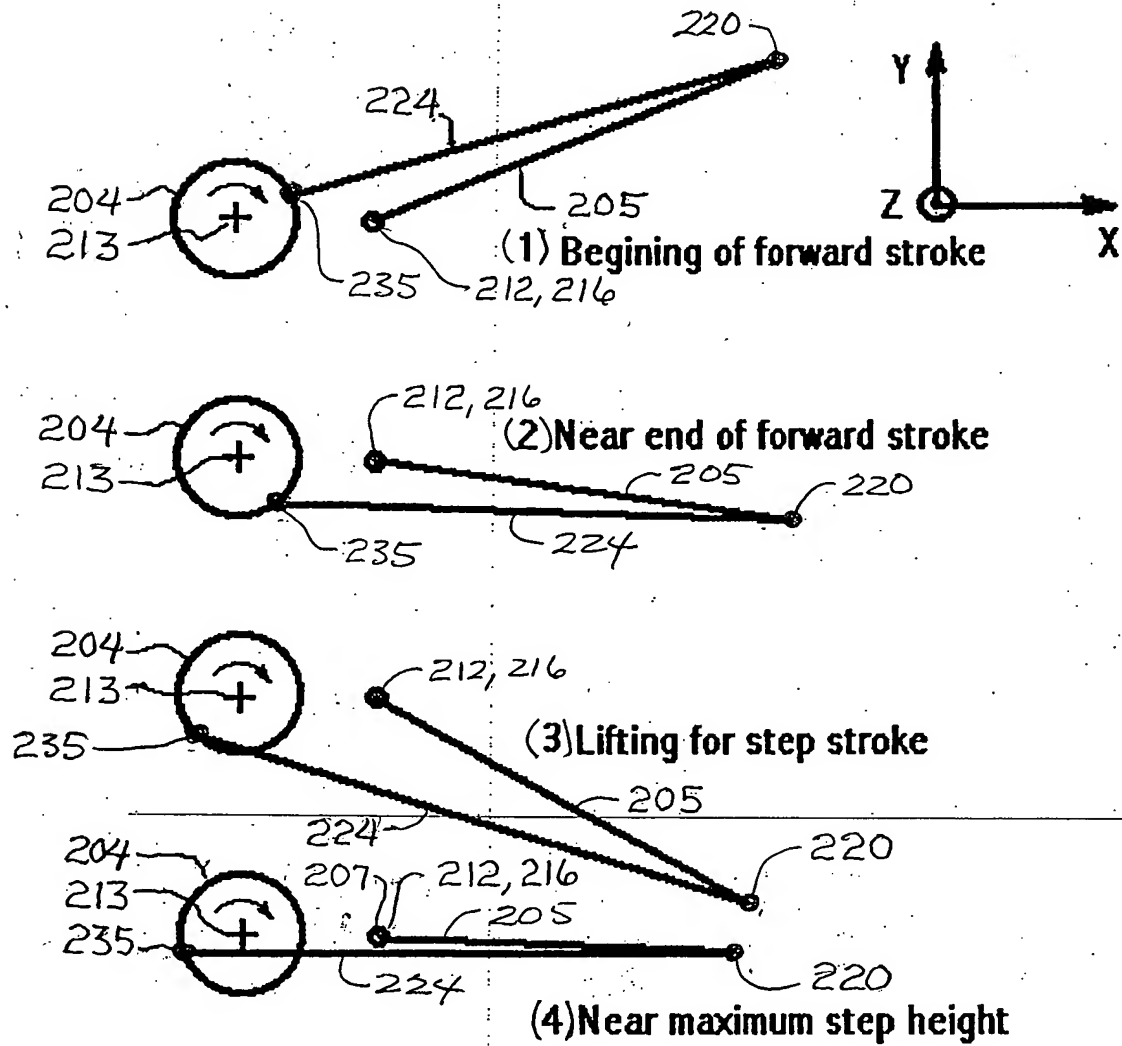


FIG. 41

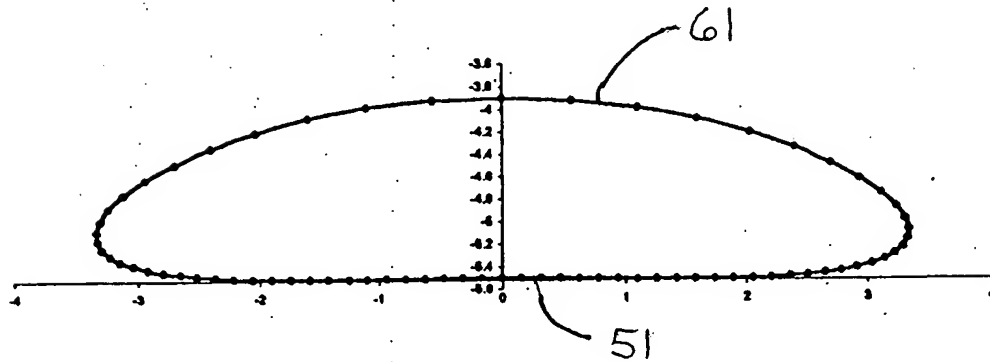


FIG. 42

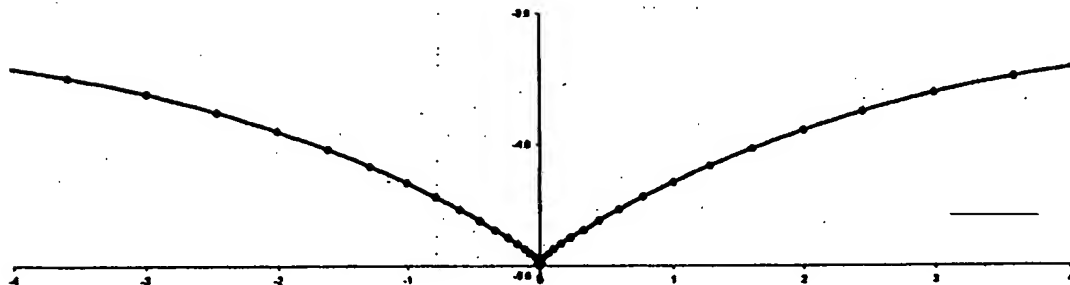


FIG. 43

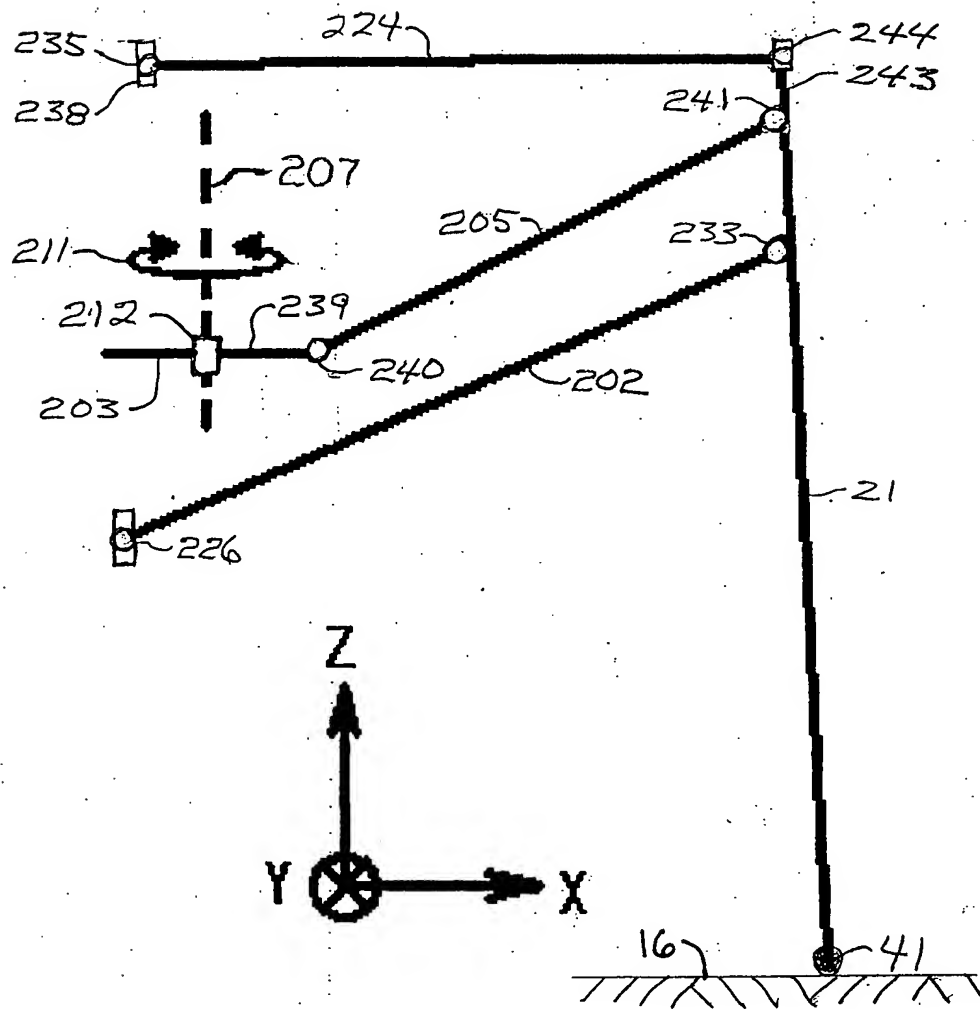


FIG. 44

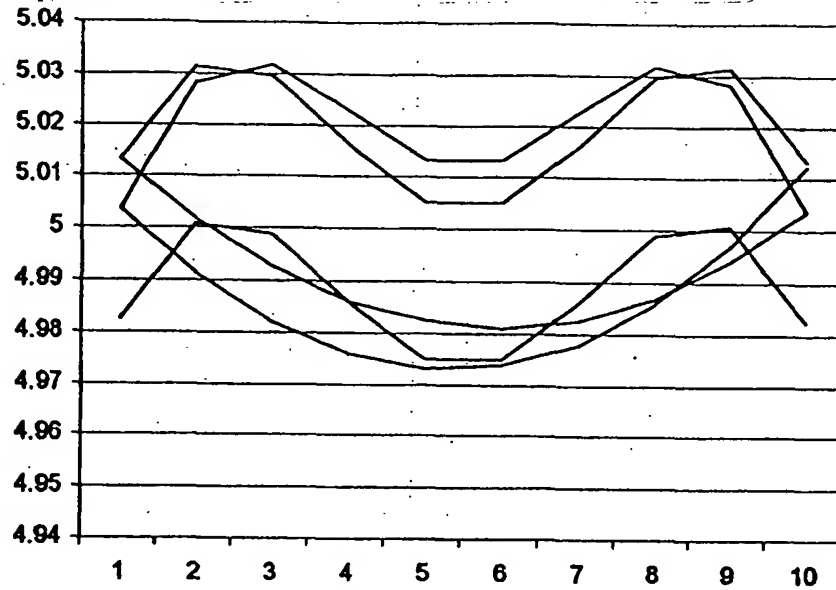


FIG. 45

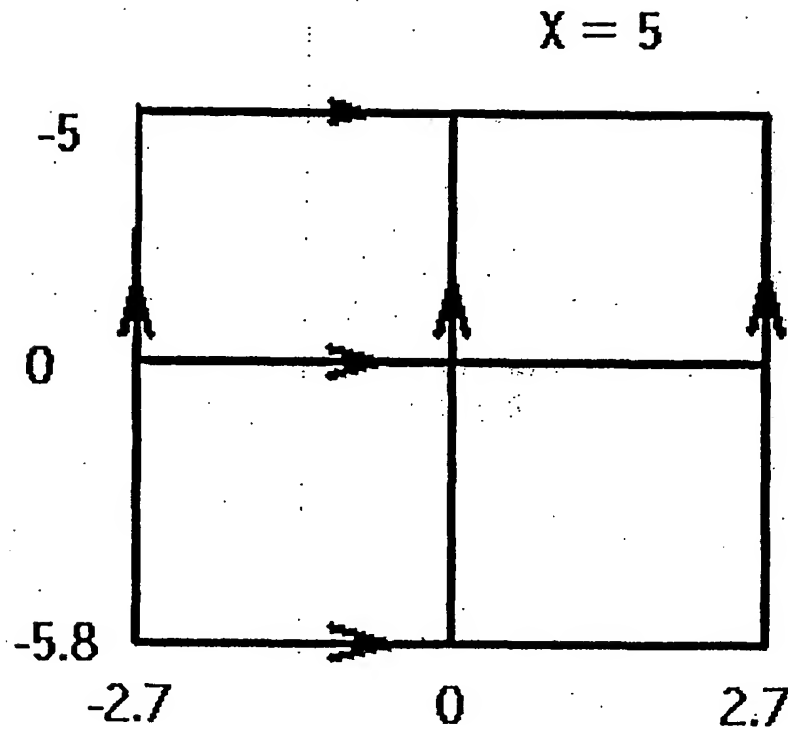


FIG. 46